



انجمن علمی دبرابر شاه ایران

مقاله پژوهشی

مجله سنجش و اینمنی پرتو، جلد ۱۴، شماره ۱، بهار ۱۴۰۴، صفحه ۶۰-۴۹

تاریخ دریافت مقاله: ۱۴۰۴/۰۱/۰۹، تاریخ پذیرش مقاله: ۱۴۰۴/۰۳/۳۱



بررسی میزان پرتوگیری رادیویی از شبکه‌های ارتباطی نسل پنجم (5G)

نرگس نوری^{۱*}

^۱پژوهشگاه ارتباطات و فناوری اطلاعات، تهران، ایران.

* تهران، پژوهشگاه ارتباطات و فناوری اطلاعات، کد پستی: ۱۴۳۹۹۵۵۹۵۶

پست الکترونیکی: nnoori@itrc.ac.ir

چکیده

نگرانی‌های عمومی در مورد خطرات ناشی از پرتوگیری الکترومغناطیسی از شبکه‌های تلفن همراه بر سلامتی انسان که از سال‌های قبل مطرح بوده، با ادعاهای جدیدی در رابطه با استقرار و راهاندازی شبکه‌های 5G افزایش یافته است. این نگرانی‌ها عمدتاً نتیجه عدم دسترسی به اطلاعات کافی در مورد ماهیت و سطح پرتوگیری الکترومغناطیسی از شبکه‌های تلفن همراه است. اندازه‌گیری‌های انجام شده در شبکه‌های واقعی و عملیاتی مخباراتی می‌بین آن است که سطوح پرتوگیری الکترومغناطیسی در این شبکه‌ها، بسیار کمتر از حدود مجاز معروفی شده در استانداردهای بین‌المللی است. علاوه بر این، بررسی‌ها نشان می‌دهند که راهاندازی شبکه‌های 5G تأثیر قابل توجهی بر سطوح تششعشی شبکه ندارد. در این مقاله، ضمن بررسی شبکه‌های 5G و فناوری‌های مورداستفاده در این شبکه‌ها، میزان پرتوگیری رادیویی از آن‌ها را موردمطالعه و تحلیل قرار می‌دهیم. برای این منظور، یک ایستگاه پایه 5G در نظر گرفته شده است که مجهز به فناوری MIMO است و در باند فرکانسی $3/5 \text{ GHz}$ کار می‌کند. ارتفاع نصب این ایستگاه 10 m ، حداکثر توان نامی آن 50 W و بهره آتن 18 dBi است. نتایج شبیه‌سازی‌های انجام شده نشان می‌دهد که فناوری‌های مورداستفاده در شبکه‌های 5G تا چه اندازه می‌توانند در کاهش سطح پرتوگیری رادیویی نسبت به نسل‌های قبلی شبکه‌های ارتباطی مؤثر واقع شوند.

کلیدواژگان: پرتوگیری الکترومغناطیسی در فرکانس‌های رادیویی، شبکه‌های تلفن همراه، شبکه‌های 5G

۱. مقدمه

مختلفی همچون تحریک اعصاب و عضلات، اثرات گرمایی و اثرات غیرگرمایی ظاهر می‌شوند [۱].

اثرات تحریکی این میدان‌ها غالباً در کاربردهای پزشکی قابل استفاده هستند. اثرات گرمایی (که در محدوده فرکانسی 100 kHz تا 300 GHz رخ می‌دهند) باعث افزایش دمای بدن می‌شود. اما اثرات غیرگرمایی ناشی از پرتوگیری طولانی مدت و

طی دهه‌های گذشته با پیشرفت سیستم‌های ارتباطی سیار و توسعه استفاده از ارتباطات رادیویی، مسئله اثرات زیان‌بار امواج الکترومغناطیسی بر سلامت انسان‌ها اهمیت زیادی پیدا کرده است. به طور کلی، میدان‌های الکترومغناطیسی می‌توانند با تابش بر بدن انسان اثرات بیولوژیکی مختلفی را ایجاد کنند که این پیامدها متناسب با فرکانس و شدت میدان به صورت‌های

در این مقاله، ابتدا ضمن ارائه مقدمه‌ای بر فناوری ۵G، توضیحاتی در مورد نحوه عملکرد شبکه‌های مبتنی بر این فناوری و کلیاتی از رهنمودهای پرتوگیری از این شبکه‌ها ارائه می‌شود. در ادامه، با معرفی و بررسی ویژگی‌های شبکه‌های ۵G و فناوری‌های مورداستفاده در این شبکه‌ها، میزان پرتوگیری در آن‌ها موردبررسی قرار می‌گیرد.

۲. اصول شبکه‌های ۵G

۵G نسلی از ارتباطات سیار است که عملکرد تلفن همراه را در میان کاربران دچار تحول کرده است. این فناوری برای افزایش کارایی طیف و ارائه برنامه‌های کاربردی جدید از طریق نرخ داده گیگابایتی، تأخیر کم و قابلیت اطمینان بالا طراحی شده است و می‌تواند پشتیبانی کارآمدی را برای اتصالات ابیوه اینترنت اشیا فراهم کند. افزایش کارایی طیف به این معنی است که برای انتقال مقدار مشخصی از اطلاعات به پهنه‌ی باند و انرژی کمتری نیاز است. نرخ داده ارائه شده توسط شبکه‌های ۵G تا ۱۰۰ برابر سریع‌تر از شبکه‌های ۴G است و با تأخیر شبکه به شدت کاهش یافته‌ای از دسترسی آنی به خدمات و برنامه‌های کاربردی پشتیبانی می‌کند [۸]. علاوه بر این، فناوری ۵G برش شبکه^۱ را ارائه می‌دهد که امکان اختصاص بخشی منحصر به فرد از شبکه را برای یک سرویس خاص فراهم می‌کند.

۵G نیز مانند سایر انواع ارتباطات رادیویی همچون پخش رادیویی و تلویزیونی، ارتباطات ماهواره‌ای و نسل‌های قبلی شبکه‌های تلفن همراه، از امواج رادیویی برای انتقال اطلاعات بین ایستگاه‌های پایه و دستگاه‌های متصل شده^۲ به شبکه استفاده

مکرر ممکن است سبب ایجاد حساسیت الکترومغناطیسی^۳ یا اختلالات عصبی شود.

اگرچه بحث در مورد نگرانی‌های بهداشتی مربوط به پرتوگیری از میدان‌های الکترومغناطیسی در نسل‌های قبلی فناوری تلفن همراه نیز وجود داشته است، اما معرفی فناوری جدید ۵G و استفاده از طیف موج میلی‌متری و سلول‌های کوچک^۴ در آن باورهای جدیدی را در رابطه با پرتوگیری از این شبکه‌های ۵G، برای پشتیبانی از نرخ بیت موردنیاز سرویس‌های جدید و پاسخگویی به تقاضای کاربران موبایل، استقرار و توسعه ایستگاه‌های پایه بیش‌تری موردنیاز است، این توسعه همراه با پیاده‌سازی فناوری‌های جدیدی همچون اینترنت اشیا^۵ (IoT)، نگرانی‌های پیش‌تر ذکر شده را تشید کرده است [۵-۳]. چنین عواملی باعث ایجاد جنبش‌های ضد ۵G و تلاش‌هایی برای از بین بردن دکلهای تجهیزات رادیویی آن شده است.

به طور کلی، از آن‌جاکه تجهیزات ۵G به شبکه‌های مخابراتی موجود اضافه می‌شود، ممکن است افزایش اندکی در پرتوگیری رادیویی ایجاد کنند، اما مطابق اندازه‌گیری‌های انجام شده، سطح کلی یا تجمعی پرتوگیری بسیار کمتر از حدودی است که توسط استانداردها تعیین شده است [۶]. از طرفی، استفاده از فرکانس‌های بالاتر در ۵G به معنای ایجاد پرتوگیری بیش‌تر یا شدیدتری نیست. فرکانس‌های موج میلی‌متری پیش‌بینی شده و مورداستفاده در ۵G فرکانس‌های جدیدی نیستند و قبل از استفاده از آن‌ها در اسکنرهای امنیتی فرودگاه‌ها، رادارهای سنجش سرعت و لینک‌های مایکروویو، به شکل غیرعمومی رایج بوده است [۷].

عضلات را به هنگام مواجهه با سطوح میدان‌های الکترومغناطیسی بسیار کمتر از سطوح مجاز بین‌المللی تجربه می‌کنند.

² Small cell

³ Internet of Things

⁴ Network slicing

⁵ Connected devices

¹ Electromagnetic Hypersensitivity

حساسیت الکترومغناطیسی به احساسی اطلاق می‌شود که اگرچه قادر مبنای علمی در پژوهشی است، اما افراد دارای این حساسیت علائمی مانند سردرد، خستگی، استرس، اختلالات خواب، علائم پوستی مانند سوزش، و درد در

ناحیه کوچک را روشن می‌کند. به این ترتیب با استفاده از شکل-دهی پرتو^۱ و هدایت^۲ آن توسط آنتن‌های هوشمند تنها نقطه موردنظر تحت پوشش قرار می‌گیرد و شدت سیگنال در سایر نقاطی که نیازی به سرویس دهی ندارند، به شدت کاهش می‌یابد. در واقع تنها کسری از توان کلی ایستگاه پایه ۵G به هر کاربر مجزا تابش می‌شود. در شبکه‌های ۵G، برای بهبود قابل توجه عملکرد شبکه، فناوری چند ورودی چند خروجی انبوه^۳ (MIMO) به کار می‌رود [۱۱]. افزایش قابل توجه تعداد پورت‌های آنتن (تا صدها پورت) در مقایسه با سیستم‌های معمولی، امکان تطبیق الگوهای تشعشع آنتن را با ترافیک متغیر با زمان و شرایط انتشار رادیویی چند مسیری و همچنین دریافت یا ارسال همزمان سیگنال‌های متعدد با استفاده از الگوهای تابشی مختلف ممکن می‌سازد. در این فناوری با تنظیم فاز و دامنه هر پورت آنتن، انرژی با استفاده از شکل‌دهی پرتو به سمت مسیرهای رادیویی خاص هدایت می‌شود و این کار شدت سیگنال دریافتی در جهت کاربر و در نتیجه توان عملیاتی کاربر نهایی را افزایش می‌دهد درحالی‌که توان تابشی و بعثت آن پرتوگیری کلی را در سایر جهات به حداقل می‌رساند.

۲.۲. سطوح استاندارد پرتوگیری از شبکه‌های ۵G

در سال ۱۹۹۸ میلادی، کمیسیون بین‌المللی حفاظت در برابر پرتوهای غیریون‌ساز^۴ (ICNIRP) برای اولین بار رهنمودهایی را در مورد محدودیت‌های پرتوگیری از فرکانس‌های رادیویی تا ۳۰۰ GHz برای محافظت از شاغلین و عموم مردم ارائه کرد. کلیه فناوری‌های بی‌سیم رادیویی در کشورهای مختلف می‌باشد مطابق با مقررات ملی خاص آن کشور (که در برخی از کشورها مطابق با رهنمودهای ارائه شده توسط ICNIRP است)

می‌کند. امواج رادیویی شکلی از میدان‌های الکترومغناطیسی هستند که توسط آنتن‌ها ارسال و دریافت می‌شوند.

۱.۲. نحوه کارکرد شبکه‌های ۵G

پیاده‌سازی‌های اولیه شبکه‌های ۵G در فرکانس‌های مشابه با فرکانس‌های شبکه‌های ۴G، ۳G و Wi-Fi انجام شده است. به این ترتیب، بسیاری از سایت‌ها و دکلهای آنتن و زیرساخت‌های شبکه‌های پیشین مجدداً توسط ۵G موردادستفاده قرار گرفته‌اند. در شبکه‌های ۵G برای دستیابی به ظرفیت بالاتر، از فرکانس‌های موج میلی‌متری نیز استفاده می‌شود. امواج رادیویی در فرکانس‌های موج میلی‌متری دارای برد کوتاه‌تری نسبت به امواج موردادستفاده در شبکه‌های ۴G (یا باندهای پایین‌تر فرکانسی موردادستفاده در شبکه‌های ۵G) هستند. این امواج با توجه به برد کوتاه خود در سلول‌های کوچک استفاده می‌شوند [۹]. ایستگاه‌های پایه این سلول‌ها که دارای آنتن‌های کوچک و سطح توان تابشی پایینی هستند بر روی تیرهای چراغ‌های برق خیابانی یا در داخل ساختمان‌ها نصب می‌شوند. پیش‌بینی می‌شود که تعداد زیادی از سلول‌های کوچک برای ایجاد ظرفیت و پوشش موردنیاز شبکه‌های ۵G در این شبکه‌ها مستقر شوند.

شبکه‌های ۵G از ترکیب سلول‌های کوچک با فناوری‌های آنتن‌های هوشمند برای ارائه سیگنال‌های رادیویی به کاربران استفاده می‌کنند [۱۰]. آنتن‌های هوشمند می‌توانند ظرفیت شبکه را افزایش داده و کارایی آن را بهبود بخشند. پوشش رادیویی آنتن‌های همه جهتی مشابه با نوردهی نورافکنی است که منطقه وسیعی را روشن می‌کند، درحالی‌که نحوه پوشش دهی آنتن‌های هوشمند مانند روشنایی حاصل از چراغ‌قوهای است که تنها یک

^۴ International Commission for Non-Ionizing Radiation Protection

^۱ Beamforming

^۲ Beam steering

^۳ Massive multi-input multi-output

مکان‌یابی مشترک^۱ آتن‌ها را دشوار و تعداد سایتهاي آتن موردنیاز را افزایش می‌دهند [۱۰].

به‌منظور بررسی انطباق میزان پرتوگیری رادیویی ایجاد شده در شبکه‌های ۵G با مقادیر مشخص شده در رهنمودهای ICNIRP و مطابقت با مقررات ایمنی، لازم است که ارائه‌دهندگان خدمات و سازمان‌های نظارتی از چگونگی تعیین سطوح قرارگرفتن در معرض پرتوگیری از این شبکه‌ها اطلاع دقیق داشته باشند.

۳. ارزیابی و تعیین سطوح پرتوگیری در شبکه‌های ۵G

هدف از ارزیابی میزان پرتوگیری در شبکه‌های ۵G تعیین حداقل سطوح پرتوگیری رادیویی ناشی از این شبکه‌ها، ارائه روش‌هایی برای محدود کردن پرتوگیری عموم مردم و شاغلینی که در مجاورت تجهیزات رادیویی این شبکه‌ها کار می‌کنند، و ارائه الگوی گزارش‌دهی میزان پرتوگیری است. چارچوب‌های حاصل باید مبتنی بر حفظ سلامتی و ایمنی عموم مردم و شاغلین مجاور تأسیسات شبکه در حین حفظ کیفیت سرویس دریافتی توسط کاربران باشد.

۱.۳. تعیین سطوح پرتوگیری از ایستگاه‌های پایه ۵G با قابلیت شکل‌دهی پرتو

طراحی سیستم‌های ۵G به‌گونه‌ای است که از نظر آتن‌های مورداستفاده، تخصیص منابع و معماری سلولی بسیار انعطاف‌پذیر باشند. ایستگاه‌های پایه ۵G تفاوت‌های عمدی در مدیریت ارسال و دریافت داده دارند و معماری آن‌ها همچنان در حال توسعه است. هر سازنده یا اپراتور می‌تواند فناوری‌های متفاوتی از آتن‌ها و معماری RAN² را توسعه دهد. این تنوع

عمل کنند. رهنمودهای ICNIRP مورد بروزرسانی قرار گرفته‌اند و آخرین نسخه آن‌ها در سال ۲۰۲۰ میلادی منتشر شده است [۱۲]. رهنمودهای به روز شده، تمام فرکانس‌های مورد استفاده برای ارتباطات سیار، از جمله فرکانس‌های مورد استفاده در شبکه‌های ۵G را پوشش داده و راهنمایی‌های بهتر و دقیق‌تری را به ویژه برای فرکانس‌های بالای ۶ GHz ارائه می‌دهند. در واقع، معرفی یک فناوری جدید با استفاده از فرکانس‌های رادیویی موجود یا جدید، ویژگی‌های آن فرکانس‌ها را تغییر نمی‌دهد، یعنی، رهنمودهای ICNIRP که تا ۳۰۰ GHz (بسیار بالاتر از فرکانس‌های پیشنهاد شده برای ۵G) اعمال می‌شوند، همچنان برای فناوری جدید نیز معتبر باقی می‌مانند.

سازمان بهداشت جهانی رهنمودهای این کمیسیون مستقل غیردولتی را به رسمیت می‌شناسد و بر این باور است که پرتوگیری از سطوح امواج الکترومغناطیسی کمتر از حدود توصیه شده در رهنمودهای ICNIRP پیامد شناخته شده‌ای بر سلامتی ندارد. این سازمان استفاده از رهنمودهای یاد شده را در کل کشورها پیشنهاد می‌کند. در واقع از نظر سازمان بهداشت جهانی، وجود تفاوت‌های قابل ملاحظه میان محدودیت‌های کشورهای مختلف می‌تواند باعث سردرگمی برای سازمان‌های نظارتی و سیاست‌گذاران شود، نگرانی‌های عمومی را افزایش دهد و چالشی را برای تولیدکنندگان و اپراتورهای سیستم‌های مخابراتی ایجاد کند تا ملزم به تنظیم محصولات خود متناسب با بازار هر کشور باشند. اعمال محدودیت‌های سخت‌گیرانه‌تر از حدود تعیین شده در رهنمودهای ICNIRP توسط برخی از کشورها، مبنای علمی تأیید شده برای ایجاد محافظت بیشتر در مقابل پرتوگیری رادیویی ندارد (لیکن تاکنون به صورت علمی رد هم نشده است)، اما استقرار شبکه تلفن همراه را ناکارآمد،

² Radio access network

¹ Co-location

مرکزی ارسالی ایستگاه پایه قرار دارند و می‌توان آن را در یک پهنهای باند مشخص کمتر یا برابر با پهنهای باند ارسال اندازه‌گیری کرد. تعداد پرتوها در روش جاروب کردن مستقیماً با تعداد SSB‌ها در یک مجموعه SSB و فرکانس عملکرد مورداستفاده توسعه ایستگاه پایه مرتبط است. کاربران واقع در ناحیه پوشش اطراف ایستگاه‌های پایه ۵G، SSB‌ها را دریافت کرده و شدت سیگنال هر SSB را اندازه‌گیری می‌کنند. سپس هر کاربر پرتوی مطلوب را با توجه به نتیجه اندازه‌گیری‌ها انتخاب می‌کند و آن را به ایستگاه پایه باز می‌گرداند.

اندازه‌گیری در حوزه زمان (اپن صفر)، توان لحظه‌ای دریافتی از پهنهای باند اندازه‌گیری را نشان می‌دهد. توان لحظه‌ای اندازه‌گیری شده کانال‌های SSB را می‌توان به کل پهنهای باند ارسال تعیین داد تا حداقل توان دریافتی ممکن از یک پرتوی خاص در محل اندازه‌گیری قابل تخمین باشد.

یکی از ویژگی‌های دسترسی رادیویی ۵G پالایش پرتو^۰ است که مرحله بعدی برقراری ارتباط بین ایستگاه پایه ۵G و کاربر را برای ارسال داده تشکیل می‌دهد (شکل ۲). برای این منظور، آتن ایستگاه پایه شکل دهی پرتوی خود را به گونه‌ای تطبیق می‌دهد که برای کاربر مورد نظر مناسب‌تر باشد. به این ترتیب، بهره آتن به هنگام ارسال در کانال داده مانند هنگام ارسال در کانال سیگنال نخواهد بود. بنابراین، در صورت استفاده از پالایش پرتو، دیگر نمی‌توان به سادگی اندازه‌گیری کانال SSB را به کل پهنهای باند انتقال تعیین داد، زیرا بهره آتن در هنگام ارسال داده بیشتر خواهد بود. بنابراین برآورد افزایش بهره برای جلوگیری از دست کم گرفتن میزان پرتوگیری ضروری است. این بهره اضافی را می‌توان با اندازه‌گیری اختلاف توان لحظه‌ای

در این حالت نوسان‌ساز محلی تحلیلگر طیف در یک فرکانس مشخص ثابت می‌ماند و جاروب فرکانسی انجام نمی‌دهد.

^۴ Beam sweeping
^۵ beam refinement

در پیاده‌سازی، بررسی میزان پرتوگیری را پیچیده‌تر از فناوری‌های قدیمی‌تر می‌کند. در ارزیابی انطباق پرتوگیری رادیویی از ایستگاه‌های پایه ۵G چالش اصلی این است که چگونه تغییرات پویای الگوهای تابشی آتن‌هایی در نظر گرفته شود که به کاربران در مکان‌های مختلف سرویس دهی می‌کنند. از آن‌جا که اندازه‌گیری‌های طیف کامل ۵G نمایش مناسبی از توان دریافتی را ارائه نمی‌کند، یک روش جایگزین برای به‌دست‌آوردن تخمینی محافظه‌کارانه از توان دریافتی پیشنهاد شده است. این روش شامل اندازه‌گیری کانال‌های همیشه روشن لینک فروسو^۱، و سپس برونویابی آن در کل باند است. بلوک سیگنال همزمان‌سازی^۲ (SSB) تنها کانال لینک فروسویی است که مستقل از تراکم شبکه و با دوره تناوب مشخصی به صورت یک سیگنال مرجع پایدار منتشر می‌شود. SSB‌ها را می‌توان در اپن صفر^۳ اندازه‌گیری کرده و از این مقدار برای برونویابی توان به کل پهنهای باند استفاده کرد. با این حال، این سیگنال به‌نهایی برای تخمین میزان پرتوگیری رادیویی از ایستگاه‌های پایه ۵G کافی نیست [۱۳].

SSB نقش مهمی در مدیریت پرتو و تخصیص منابع ایفا می‌کند. جاروب پرتو^۰ با نگاشت هر SSB به یک پرتو مشخص اجرا می‌شود. پرتوهای حامل SSB به صورت زمانی جاروب شده و در فواصل زمانی منظم بر اساس تناوب تنظیم شده به سمت کاربرانی ارسال می‌شوند که در مکان‌های مختلفی در منطقه تحت پوشش قرار دارند. روش جاروب پرتو در شکل ۱ نشان داده شده است.

هر SSB با یک عدد منحصر به فرد به نام شاخص SSB شناسایی می‌شود. SSB‌ها به طور پیش‌فرض در اطراف فرکانس

^۱ Downlink

^۲ Synchronization signal block

^۳ Zero-span

$$E_{asmt} = E_{SSB} \sqrt{F_{extBeam} \cdot F_{BW} \cdot F_{PR} \cdot F_{TDC} \cdot F_B^{-1}} \quad (1)$$

که E_{SSB} شدت میدان الکتریکی در هر عنصر منع از قوی‌ترین سیگنال SSB ضریب بروندایابی متناظر با نسبت پوش الگوی تابشی داده به پوش توان تابشی همسانگرد معادل^۵ (EIRP) سیگنال SSB در جهت ارتفاع مورد نظر، F_B نسبت توان ارسالی سمبول SSB نسبت به توان ارسالی سمبول داده، F_{BW} نسبت کل پهنای باند حامل به فاصله فرکانسی سیگنال SSB، F_{PR} ضریب کاهش توان و F_{TDC} ضریب دوره^۶ کاری سیگنال‌ها است که جزئیات محاسبه هر یک در [۱۳] ذکر شده است.

۲.۳. محاسبه چگالی توان دریافتی

محدودیت‌های پرتوگیری از فرکانس‌های رادیویی تعیین شده در رهنمودهای ICNIRP بر حسب کمیت‌های مختلفی ارائه شده‌اند. یکی از این کمیت‌ها چگالی توان تابشی است که می‌تواند برای ارزیابی سطح پرتوگیری رادیویی مورداستفاده قرار گیرد. سطوح توان دریافتی در محل کاربران به صورت زیر برای محاسبه چگالی توان دریافتی استفاده می‌شود:

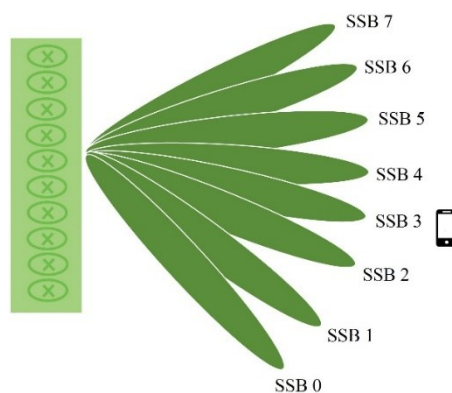
$$S(\theta, \phi) = \frac{PG(\theta, \phi)}{4\pi r^2} \text{ (W m}^{-2}\text{)} \quad (2)$$

که P توان فرستنده، $G(\theta, \phi)$ بهره آنتن فرستنده در جهت کاربر و r فاصله فرستنده تا کاربر است.

۳.۳. مدل آنتن

مدل آنتن مورد استفاده توسط GPP^۷ برای بازه فرکانسی ۶ گیگاهرتز تا ۱۰۰ گیگاهرتز ارائه شده است. الگوی تابشی کلی آنتن ترکیبی از الگوی تابشی هر عنصر تابشی و ضریب آرایه است. الگوی تابشی یک عنصر تابشی با در نظر داشتن زوایای

دریافتی در یک باند فرکانسی کوچک (به عنوان مثال ۱ مگاهرتز) بین SSB و کanal فیزیکی فروسوی بهاشترak گذاشته شده^۸ (PDSCH) تخمین زد.



شکل (۱): جاروب پرتو SSB در ایستگاه پایه ۵G.



شکل (۲): پالایش پرتو در ایستگاه پایه ۵G.

برای انجام بروندایابی می‌توان از اطلاعات پوش^۹ الگوی تابش پرتو برای سیگنال‌های SSB و داده استفاده کرد. برای پوش سیگنال SSB، فرض می‌شود که تمام عناصر منع توان یکسانی را ارسال می‌کنند. بروندایابی بر اساس نسبت پوش الگوی تابشی سیگنال داده به پوش الگوی تابشی SSB در یک زاویه سمت^{۱۰} و ارتفاع^{۱۱} مشخص انجام می‌شود. این نسبت ضریب بروندایابی را در این زاویه سمت و ارتفاع نشان می‌دهد. شدت میدان الکتریکی بروندایابی شده، E_{asmt} ، با استفاده از رابطه زیر به دست می‌آید [۱۴]:

⁵ Equivalent isotropic radiated power

⁶ Duty-cycle

⁷ Third Generation Partnership Project

¹ physical downlink shared channel

² Envelope

³ Azimuth

⁴ Elevation

که $v_{m,n}$ جابجایی فاز ناشی از محل قرارگیری عنصر آتن، $w_{m,n}$ ضریب مربوط به شیب الکتریکی پایین^۴ و تضعیف پرتوهای جانبی آتن، و N_H و N_V به ترتیب تعداد عناصر آتنی در راستای افقی و عمودی می‌باشند. ضرایب $v_{m,n}$ و $w_{m,n}$ از روابط زیر به دست می‌آیند:

$$v_{m,n} = \exp\left(2\pi i \left((n-1)\frac{d_V}{\lambda} \cos(\theta) + (m-1)\frac{d_H}{\lambda} \sin(\theta) \sin(\phi)\right)\right) \quad (7)$$

for $m = 1, 2, \dots, N_H, n = 1, 2, \dots, N_V$

$$w_{m,n} = \frac{1}{\sqrt{N_H N_V}} \exp\left(2\pi i \left((n-1)\frac{d_V}{\lambda} \sin(\theta_{etilt}) - (m-1)\frac{d_H}{\lambda} \cos(\theta_{etilt}) \sin(\phi_{escan})\right)\right) \quad (8)$$

for $m = 1, 2, \dots, N_H, n = 1, 2, \dots, N_V$

که θ_{etilt} زاویه هدایت شیب الکتریکی پایین و ϕ_{escan} زاویه هدایت افقی الکتریکی آتن است و از آنجا که فرض می‌شود پرتو اصلی آتن به سمت کاربر تحت سرویس است، آرایه آتن متناسب با موقعیت مکانی هر کاربر الگوی تابش متفاوتی به سمت آن دارد.

۴. ارزیابی انطباق پرتوگیری از ایستگاه‌های پایه ۵G مجهز به MIMO انبوه

برای بررسی میزان پرتوگیری ناشی از یک ایستگاه پایه ۵G یک ایستگاه پایه مجهز به فناوری MIMO انبوه را در نظر می‌گیریم که در باند فرکانسی GHz ۳/۵ کار می‌کند. این آرایه دارای $M \times N$ عنصر آتن که در حالت TDD^۵ کار می‌کند. فاصله بین دو عنصر آتن مجاور برابر با $\lambda/5$ در هر دو راستای افقی و عمودی است، که طول موج سیگنال RF است. تعداد عناصر آتن N در راستای عمودی به L زیرآرایه تقسیم می‌شوند که

اوج θ ($0^\circ < \theta < 180^\circ$) و سمت ϕ ($0^\circ \dots 180^\circ$) در سیستم مختصاتی که مبدأ آن در مرکز آرایه آتن قرار دارد به صورت زیر به دست می‌آید [۱۵]:

$$A_E(\theta, \phi) = -\min[A_{E,V}(\theta) + A_{E,H}(\phi), A_m] \quad (3)$$

که $A_{E,V}$ و $A_{E,H}$ الگوهای تابشی عمودی و افقی عنصر تابشی می‌باشند که به صورت زیر تعریف می‌شوند:

$$A_{E,V}(\theta) = -\min\left[12\left(\frac{\theta - 90^\circ}{\theta_{rdB}}\right), SLA_V\right] \quad (4)$$

$$A_{E,H}(\phi) = -\min\left[12\left(\frac{\phi}{\phi_{rdB}}\right)^2, A_m\right] \quad (5)$$

که $\theta_{rdB} = 65^\circ$ پنهانی پرتوهای ۳ dB عمودی و افقی آتن، $SLA_V = 30$ dB سطح تضعیف پرتو جانبی عمودی^۶ و $A_m = 30$ dB نشان‌دهنده نسبت تفاوت شدت سیگنال ارسال شده در جهت اصلی آتن به سیگنال ارسال شده در جهت مخالف هستند.

پیاده‌سازی تعداد زیادی از عناصر آتنی در آرایه، ارسال توان با بهره بالا را با متمرکز کردن شدت میدان در جهت کاربر تحت سرویس، امکان‌پذیر می‌کند. الگوی تابشی آرایه بر اساس پیاده‌سازی فیزیکی عناصر آتن و هدایت الکتریکی پرتو اصلی آن تعیین می‌شود.

الگوی تابشی آرایه مستطیلی با فاصله یکنواخت عناصر در ابعاد افقی و عمودی و با فرض الگوی تابشی یکسان برای هر عنصر آن به صورت زیر تعیین می‌شود:

$$A_A(\theta, \phi) = A_{E,V}(\theta, \phi) + 10 \log \left[1 + \rho \left(\sum_{m=1}^{N_H} \sum_{n=1}^{N_V} w_{m,n} v_{m,n} \right)^2 - 1 \right] \quad (6)$$

⁴ Down-tilt

⁵ Time-division duplexing

¹ Zenith

² Beamwidths

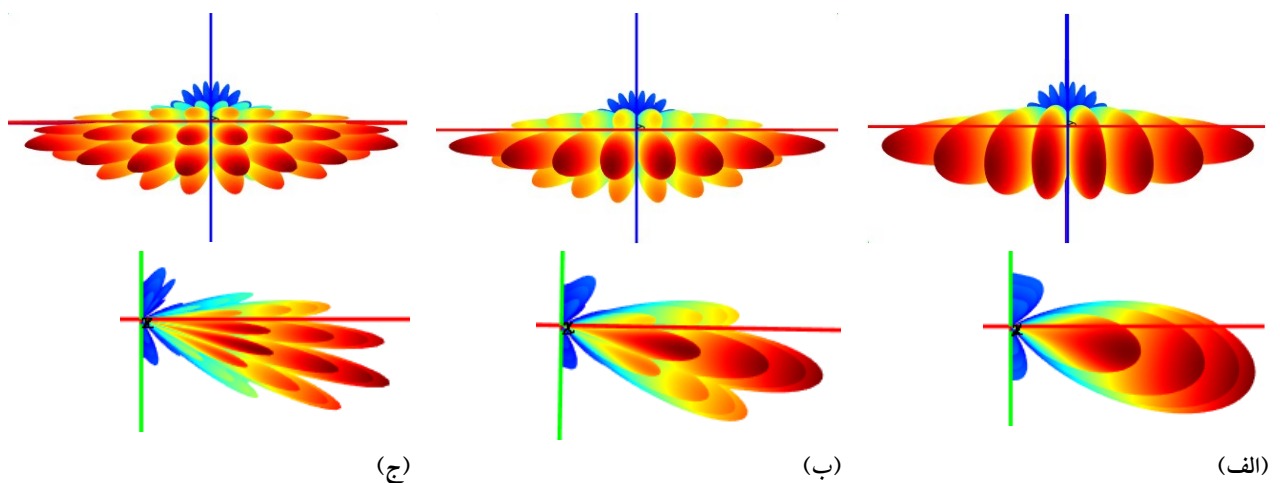
³ Sidelobe attenuation level

شکل ۳ الگوی تابشی کامل ایجاد شده توسط این آرایه را برای توان ارسالی یکسان در حالت $M = 8$ (۸ عنصر آنتن افقی) و $L = 1$ ، $L = 2$ ، $L = 4$ و $L = 8$ نشان می‌دهد. ردیف بالایی این شکل نمای جلویی الگوی تابشی و ردیف پایینی نمای جانبی آن را نشان می‌دهد. همانطور که مشاهده می‌شود، با افزایش تعداد آنتن‌های آرایه، تعداد پرتوهای تابشی آن افزایش و پهنای این پرتوها کاهش می‌یابد. اگر فرض کنیم که هر پرتو یک کاربر را پشتیبانی نماید، در حالت $L = 4$ ، 32 کابر قابل پشتیبانی هستند.

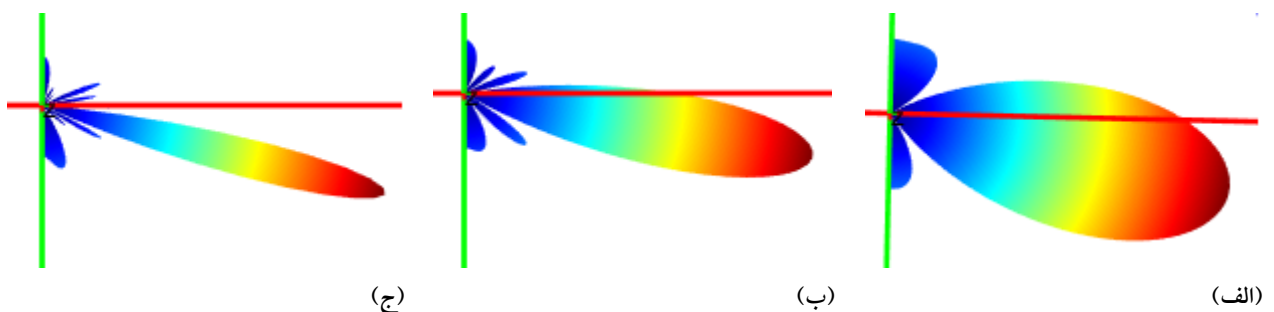
هر زیرآرایه از تعداد N/L عنصر تشکیل شده است. با فرض اینکه هر زیرآرایه دارای سه عنصر آنتن باشد (یعنی $N/L = 3$)، فاصله بین مراکز دو زیرآرایه مجاور برابر $3 \times 0.5\lambda = 1.5\lambda$ است. یکتابع پنجره به صورت زیر به الگوی آرایه در راستای عمودی اعمال می‌شود:

$$W_L = \left| \frac{\sin(0.5\pi N \sin \theta)}{0.5\pi N \sin \theta} \right| \quad (4)$$

ارتفاع نصب ایستگاه پایه 10 m، حداکثر توان نامی آن $W = 50$ و بهره آنتن 18 dB_i است. شبکه‌کتریکی پایین الگوی تابشی آنتن 12° فرض می‌شود. الگوی تابشی هر عنصر مطابق با تنظیم شده است. مقادیر ضرایب رابطه (۱) مطابق با ضرایب اندازه‌گیری شده در [۱۶] تنظیم شده‌اند.

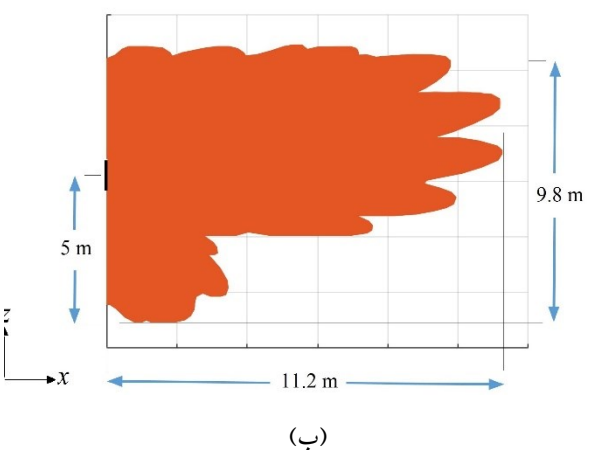
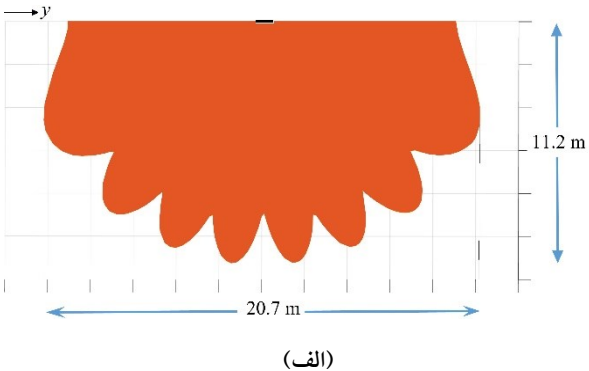


شکل (۳): الگوی تابشی کامل ایجاد شده توسط آرایه آنتن در حالت $M = 8$. (الف) و $L = 1$ (ب) و $L = 2$ (ج) و $L = 4$. ردیف بالای نمای جلویی و ردیف پایین نمای جانبی الگوی تابشی.



شکل (۴): نمای جانبی الگوی تابشی برای سرویس‌دهی به تک کابر در حالت $M = 8$. (الف) و $L = 1$ ، (ب) $L = 2$ و (ج) $L = 4$.

را مشخص می‌کند. با توجه به اینکه در داخل ناحیه ممنوعه، میزان پرتوگیری بیش از حد مجاز تعیین شده برای عموم مردم در استاندارد است، این افراد باید از ورود به آن اجتناب کنند.



شکل (۵): مرزهای ناحیه ممنوعه. (الف) نمای بالایی (در صفحه xy) و (ب) نمای جانبی (در صفحه xz) ناحیه ممنوعه.

برای آرایه آنتن مشخص شده در بالا حدود مرزها و شکل ناحیه ممنوعه با استفاده از رابطه (۲) تعیین و با رنگ نارنجی در شکل ۵ نشان داده شده است. مقادیر محاسبه شده برای ابعاد این ناحیه بر حسب متر در صفحات xy و xz به ترتیب در شکل های ۵ (الف) و ۵ (ب) مشاهده می شود (محور z راستای قائم را در فضای سه بعدی نشان می دهد و $z=0$ نشان دهنده سطح زمین است). برای سادگی محاسبه از اثر انعکاس سطح زمین صرف نظر شده است. مطابق این شکل، حداقل ابعاد ناحیه ممنوعه در صفحه xy 11.2 m و 9.8 m در صفحه xz و 11.2 m است. همان‌طور که مشاهده می شود، با توجه به الگوی

درصورتی که از دو پالریزاسیون متعامد در عناصر آرایه استفاده شود، تعداد کاربران قابل پشتیبانی توسط این ساختار به ۶۴ افزایش پیدا می کند.

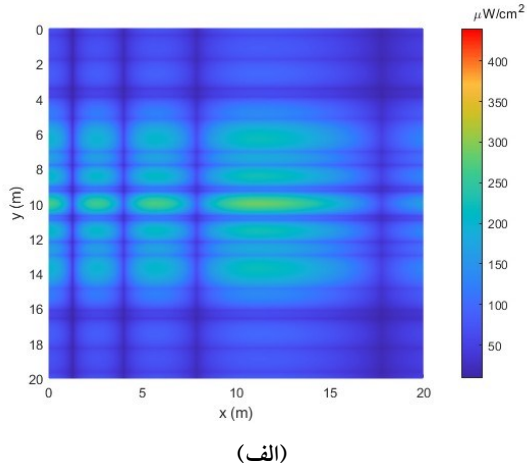
با توجه به شکل ۳ می توان مقایسه کرد که برای سرویس دهی به یک کاربر، پهنهای پرتوهای ایجاد شده و در نتیجه میزان پرتوگیری ناشی از آن در حالتی که تعداد عناصر آرایه کم است تا چه حد بیشتر از حالتی است که تعداد عناصر آرایه افزایش می باید. همچنین، توجه به این نکته لازم است که با توجه به اینکه توان ارسالی آرایه بین این پرتوها تقسیم می شود، میزان توان تابشی در هر پرتو نیز با افزایش تعداد عناصر آرایه بهشدت کاهش می یابد. برای مقایسه بهتر میزان پرتوگیری ایجاد شده در حالتی که تنها یک کاربر تحت سرویس دهی قرار می گیرد، الگوی تابشی آرایه برای این وضعیت در سه حالت فوق مقایسه شده و در شکل ۴ نشان داده شده‌اند. مشاهده می شود که تعداد بالای آنتن‌ها چگونه می تواند پرتو تابشی را در راستای کاربر موردنظر متمرکز کرده و از ایجاد تشعشع در سایر جهات و در نتیجه افزایش سطح پرتوگیری جلوگیری نماید؛ بنابراین در شبکه‌های ۵G، استفاده از فناوری MIMO آنبوه با آنتن‌های هوشمند قابلیت کاهش قابل ملاحظه میزان پرتوگیری را در مقایسه با ساختارهای آنتن موردادستفاده در نسل‌های قبلی شبکه تلفن همراه دارد.

برای تعیین مرزهای ناحیه ممنوعه برای عموم مردم، یعنی ناحیه‌ای که در آن سطح تشعشع ایستگاه پایه بزرگتر یا مساوی سطح مرجع تعیین شده برای حد پرتوگیری است، باید مطابق با استاندارد IEC ۶۲۲۳۲ [۱۴]، عمل کرد. برای این منظور باید با استفاده از رابطه (۲)، فواصلی از آنتن که در آن چگالی توان دریافتی برای تمامی زوایای $S(\theta, \phi)$ مساوی سطح مرجع تعیین شده در استاندارد ملی شماره ۸۵۶۷ ایران [۱۷] برای عموم مردم، یعنی $\mu\text{W/cm}^2$ ۴۴۰ است، محاسبه شود. مقدار فاصله به دست آمده به ازای زوایای (θ, ϕ) ، ابعاد و شکل هندسی ناحیه ممنوعه

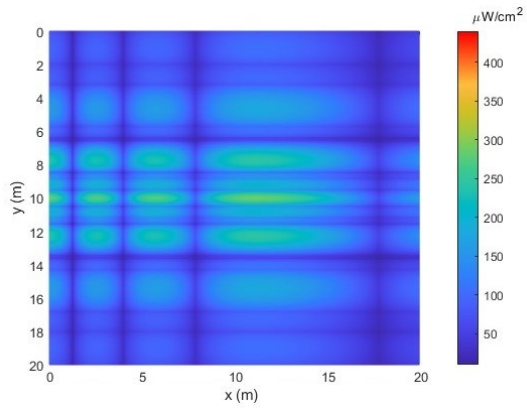
مشخص شده) بر روی مقدار $440 \mu\text{W/cm}^2$ تنظیم شده است. همان‌طور که مشاهده می‌شود، سطح چگالی توان دریافتی کاملاً کمتر از مقدار مجاز $440 \mu\text{W/cm}^2$ است. بخش کوچکی از این ناحیه $20 \text{ m} \times 20 \text{ m}$ دارای رنگی غیر از طیف رنگی آبی است. طیف رنگ آبی سطوح توان دریافتی کمتر از حدود $200 \mu\text{W/cm}^2$ و طیف رنگی غیر آبی (شامل سبز، زرد و نارنجی) سطوح توان دریافتی بیش‌تر از این مقدار را نشان می‌دهند. در ارتفاع بیش‌تر (8 m), به دلیل نزدیکی به آنتن، ناحیه طیف رنگ غیر آبی سطوح چگالی توان دریافتی بالاتری را نشان می‌دهد. با کاهش ارتفاع و دور شدن از آنتن، سطح چگالی توان دریافتی کمتر شده و این مساله در طیف رنگی غیرآبی ارتفاع‌های 4 m و 1.5 m به‌وضوح قابل مشاهده است.

تابشی آنتن MIMO استفاده شده، شکل ناحیه ممنوعه از نظر هندسی پیچیده است. مطابق آنچه پیش‌تر اشاره شد، با توجه به این‌که در ناحیه نارنجی رنگ میزان پرتوگیری بیش از حد مجاز $440 \mu\text{W/cm}^2$ است، می‌باشد از ورود عموم مردم به آن ممانعت به عمل آید.

شکل‌های ۶ (الف)، ۶ (ب) و ۶ (ج) چگالی توان دریافتی محاسبه شده از آرایه را در صفحه xz به ترتیب در $z=1.5 \text{ m}$ (فاصله تقریبی سر انسان از سطح زمین)، $z=4 \text{ m}$ و $z=8 \text{ m}$ در مجاورت محل نصب آنتن در یک ناحیه $20 \text{ m} \times 20 \text{ m}$ نشان می‌دهند. محاسبه با در نظر گرفتن انعکاس از سطح زمین انجام شده است. برای درک بهتر نتایج، حداکثر چگالی توان دریافتی نوار رنگی کنار شکل‌ها (که با رنگ قرمز)

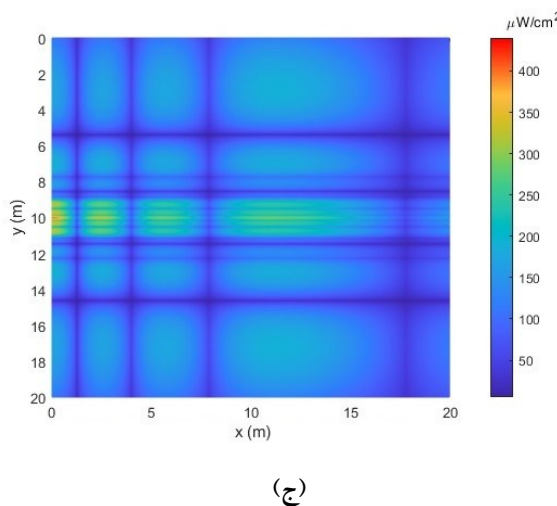


(الف)



(ب)

شکل (۶): چگالی توان دریافتی در ارتفاع‌های مختلف از سطح زمین. (الف) $z=1.5 \text{ m}$, (ب) $z=4 \text{ m}$.



(ج)

. z = 8 m (ج) و (ج)

۵. نتیجه‌گیری

مقدار قابل ملاحظه‌ای نسبت به فناوری‌های قبلی تلفن همراه که فاقد این قابلیت هستند، کاهش دهد. قابل ذکر است فضاهایی که در آنها از نسل‌های مختلف تلفن همراه استفاده می‌شود، نیاز به بررسی بیشتری دارند. نتایج ارائه شده در بالا برای شرایطی است که تنها از فناوری 5G برای ایجاد پوشش تلفن همراه استفاده شده است.

در این مقاله پس از معرفی ساختار شبکه‌های 5G و فناوری‌های مورداستفاده در این شبکه‌ها، میزان پرتوگیری رادیویی حاصل از ایستگاه‌های پایه 5G را موردنرسی قرار دادیم. بر مبنای نتایج شبیه‌سازی‌های انجام شده، به کارگیری MIMO انبوه در کنار شکل‌دهی پرتو می‌تواند با ایجاد پرتوهای بسیار باریک در راستای کاربران موردنظر، میزان پرتوگیری در سایر جهات را به

۶. مراجع

- P. Staebler. *Human Exposure to Electromagnetic Fields: From Extremely Low Frequency (ELF) to Radiofrequency*. Wiley-JSTE. 1st ed. John Wiley & Sons, 2017.
- Y. Stein, I. G. Udasin. Electromagnetic hypersensitivity (EHS, microwave syndrome) – Review of mechanisms. *Environ. Res.* 186 (2020) 109445.
- F. de Vocht, P. Albers. The population health effects from 5G: Controlling the narrative. *Front Public Health.* 10 (2022) 1082031.
- L. Chiaraviglio, A. Elzanaty, M. -S. Alouini. Health Risks Associated With 5G Exposure: A View From the Communications Engineering Perspective. *IEEE Open J. Commun. Soc.* 2 (2021) 2131-2179.
- G. Wersényi. Health issues using 5G frequencies from an engineering perspective: Current Review. *Open Eng.* 12 (1) (2022) 1060-1077.
- Electromagnetic Field (EMF) measurements near 5G mobile phone base stations: Summary of results, OFCOM, (2021).
- Environmental Protection Agency. <https://www.epa.ie/environment-and-you/radiation/emf/what-is-emf/radiofrequency-fields/5g---new-rf-technologies/5g-exposure-and-guidelines/>
- I. A. I. Ahmad, F. Osasona, S. Onimisi Dawodu, O. C. Obi, A. C. Anyanwu, S. Onwusinkwue. Emerging 5G technology: A review of its far-reaching implications for communication and security. *World J. Adv. Res. Rev.* 21 (1) (2024) 2474–2486.

9. X. Ge, S. Tu, G. Mao, C. X. Wang, T. Han. 5G ultra-dense cellular networks. *IEEE Wireless Commun.* 23 (1) (2016) 72-79.
10. GSMA. 5G, *EMF Exposure and Safety*. (2020). https://www.gsma.com/solutions-and-impact/connectivity-for-good/public-policy/wp-content/uploads/2020/05/GSMA_5G_EMF_Exposure_and_Safety_05_20.pdf
11. M. I. Mapa, D. K. M. Ibarlin, E. R. Arboleda. Optimizing antenna performance: A review of multiple-input multiple output (MIMO) antenna design techniques. *Int. J. Sci. Res. Archive* 12 (2) (2024) 438-444.
12. ICNIRP Guidelines for Limiting Exposure to Electromagnetic Fields (100 KHz to 300 GHz). *Health Phys.* 118 (5) (2020) 483-524.
13. M. A. Hajj. Radio frequency exposure analysis in 5G massive MIMO systems. PH. D. Dissertation (2023).
14. IEC 62232. Determination of RF field strength, power density and SAR in the vicinity of base stations for the purpose of evaluating human exposure. (2022).
15. ETSI TR 138 901 V16.1.0. 5G Study on channel model for frequencies from 0.5 to 100 GHz (3GPP TR 38.901 version 16.1.0 Release 16) (2020).
16. M. Ruttner, H. Keller, B. Strutz, D. Šuka, S. Q. Wali. 5G FR1 exposure measurements: Comparison of different IEC 62232:2022 extrapolation methods. *IOP Conf. Ser. Mat. Sci. Eng.* 1320 (1) (2024) 012001.
۱۷. استاندارد ملی ایران شماره ۸۵۶۷ پرتوهای غیریون‌ساز- حدود پرتوگیری. بهار ۱۴۰۳.